# 喀斯特区不同岩性发育的土壤上植物一枯落物一 土壤系统 $\delta^{13}$ C值变化特征

邹军<sup>1</sup>,喻理飞<sup>2,3</sup>,李媛媛<sup>4</sup>,黄宗胜<sup>1</sup>

(1.贵州大学林学院,贵阳 550025; 2.贵州大学生命科学院,贵阳 550025; 3.山地植物资源保护与种质创新教育部重点实验室, 山地生态与农业生物工程协同创新中心,贵阳 550025; 4.贵州省植物园,贵阳 550004)

摘要:为了解喀斯特区不同岩性发育的土壤上林分碳元素循环特征,采用稳定碳同位素技术,研究贵州省喀斯特区白云岩、白云质砂岩、石灰岩 3 种岩性发育的土壤上猴樟(Cinnamomum bodinieri)、柏木(Cupressus funebris)、马桑(Coriaria ne palensis)、光皮桦(Betula luminifera)、桤木(Alnus cremastogyne) 和圆果化香(Platycarya longipes) 6 种树种为优势种构建的林分的优势种植物一枯落物一土壤系统 $\delta^{13}$  C值与其他岩性呈极显著性差异(P<0.001),桤木在石灰岩与白云岩上呈显著性差异(P=0.024);不同树种表现为猴樟、柏木、马桑 3 个树种相互间或与其他树种多表现出显著性或极显著差异(P<0.05 或 P=0.001);树种各器官 $\delta^{13}$  C值呈叶片〈枝杆〈根的分配格局。(2)3 种岩性上,各树种林分变化规律基本一致,均为植物叶片(新鲜枯落物)〈枯落物分解层〈枝杆〈根〈上层土壤〈下层土壤。土壤层与植物体、枯落物之间的 $\delta^{13}$  C值存在极显著差异(P<0.001),土壤层与枯落物层比较,增幅较大的是白云质砂岩上的猴樟林和柏木林,分别为 11.68%,11.10%,增幅较小的是白云岩上的马桑林和石灰岩上的桤木林,分别为 1.07%,2.73%。(3)土壤有机质更新率最大为白云岩上马桑林 43.84%,其次为石灰岩上桤木林 34.17%,最低为石灰岩上的圆果化香林 1.15%。白云岩上植物群落的有机碳周转率回归方程斜率 K 值为 3.15,石灰岩上为 0.85。白云质砂岩上林分的有机碳含量与 $\delta^{13}$  C值无相关性。研究结果对揭示喀斯特地区 C 元素循环及迁移特征和养分迁移特征具有重要意义。

关键词: $\delta^{13}$ C值;植物一枯落物一土壤系统;优势树种;岩性;喀斯特区

中图分类号:S718.5

文献标识码:A

文章编号:1009-2242(2020)01-0186-09

DOI: 10.13870/j.cnki.stbcxb.2020.01.027

# Changes in $\delta^{13}$ C Value of Plant-litter-soil System in Soils Developed from Different Lithologies in Karst Area

ZOU Jun<sup>1</sup>, YU Lifei<sup>2,3</sup>, LI Yuanyuan<sup>4</sup>, HUANG Zongsheng<sup>1</sup>

(1. College of Forestry, Guizhou University, Guiyang 550025; 2. College of Life

Sciences, Guizhou University, Guiyang 550025;3. Key Laboratory for Mountain Plant Resources

Protection of the Education Ministry of China, Guiyang 550025;4. Gui Zhou Botanical Garden, Guiyang 550004)

Abstract: In order to understand the C cycle characteristics in dominant tree communities in soils developed form different lithologies in Karst area, the  $\delta^{13}$ C value and soil organic matter renewal of various tree species communities were measured for six woody species (cypress, Cupressus funebris; mansur shrub, Coriaria nepalensis; camphor, Cinnamomum bodinieri; birch, Betula luminifera; alder, Alnus cremastogyne and dyetree, Platycarya longipes) planted in three different lithologic soil types (dolomite, dolomite sandstone, limestone) in the karst area of Guizhou Province. Results showed that: (1) Changes of  $\delta^{13}$ C values in plant species in different lithologies, the  $\delta^{13}$ C value of cypress funebris on limestone had very significant difference with other lithologies (P < 0.001), Alnus cremastogyne had significant difference in limestone and dolomite (P = 0.024). There were significant or extremely significant differences among three tree species (Cinnamomum bodinieri, Cupressus funebris, Coriaria nepalensis), or with other tree species (P < 0.05 or P = 0.001). The  $\delta^{13}$ C values of each organ in tree species were leaf P < 0.05 branch P < 0.05 or P < 0.001). The P < 0.05 or the three lithologies, the change law of community of each tree species was

收稿日期:2019-06-20

资助项目:国家自然科学基金项目(31560187);国家重点研发计划项目(2016YFC0502604);贵州省重大专项(黔科合 JZ 字[2014]2002)

第一作者:邹军(1979—)男,博士研究生,高级工程师,主要从事植物群落营养循环研究。E-mail:linzouju@163.com

通信作者:喻理飞(1963—),博士,教授,博士生导师,主要从事喀斯特植被恢复研究。E-mail:lifeiyugd@163.com

basically the same, that is, plant leaves (fresh litter) < litter decomposition layer < branch < root < upper soil < lower soil. There was a significant difference in  $\delta^{13}$ C values between soil layer and plant and litter (P < 0.001). Compared with litter layer, the increased degree of community of Cinnamomum bodinieri and Cupressus funebris on dolomitic sandstone was larger, 11.68% and 11.10% respectively, while the increased degree of Coriaria nepalensis on dolomite and Alnus cremastogyne on limestone was smaller, by 1.07% and 2.73%, respectively. (3) Renewal rate of soil organic matter: the highest was the community of Coriaria nepalensis on dolomite, 43.84%, followed by the community of Alnus cremastogyne on limestone, 34.17%, and the lowest was the community of Platycarya longipes on limestone, 1.15%. Organic carbon turnover showed that the slope K of regression equation of dolomite plant community was 3.15, followed by plant communities on limestone was 0.85. The organic carbon contents were not correlated with  $\delta^{13}$ C values in dolomitic sandstone. The results of the study would be of great significance to reveal the characteristics of C cycle, migration and nutrient transfer in different plant communities in lithologies of karst area.

**Keywords**:  $\delta^{13}$ C value; plant-litter-soil system; dominant tree species; the lithology; Karst area

碳是构成生命物质的主要元素,约占干重的 50%,碳循环作为森林生态系统的重要功能之一,调 节和维持着生态系统的生产力与稳定性[1]。土壤中 有机碳主要以有机质的形式存在,所以研究土壤有机 质特征和有机碳动态对认识土壤碳库动态、有机碳循 环具有重要作用[2]。近年来,碳同位素已成为研究生 态系统 C 循环的精确、可靠的技术。植物的光合作 用及其形成的碳水化合物在其代谢、分配过程中发生 碳同位素分馏,因此植物体内不同器官和成分间都具 有较大差异的碳同位素自然丰度[3]。植物的各种器 官最终以凋落物的形式进入土壤,但各种器官中各组 分的分解速率不同,一般轻同位素含量高的组分更易 分解,使未分解的部分出现<sup>13</sup> C 富集<sup>[4]</sup>。随着有机质逐 年积累分解,新土壤逐渐形成,土壤有机质的<sup>13</sup>C含量随 着土层深度增加而增加<sup>[5]</sup>。土壤有机碳的δ<sup>13</sup>C沿深度 增加的典型分布格局,可用来指示土壤中碳的来源及 周转速率[6],已有研究[7-8]表明,生态系统的稳定碳同 位素组成可以用来指示生态系统碳循环的过程、机制 和变化规律,δ<sup>13</sup>C值特征在土壤碳循环过程中,能有 效阐明土壤有机质的分解程度,土壤碳动态变化和含 量的微小迁移与转换,以及评估新老土壤有机碳对碳 储量的相对贡献。因此,植物一枯落物一土壤系统 δ¹³C值变化对了解喀斯特区森林生态系统功能及物 种对生境适应性等具有重要意义。目前,利用δ<sup>13</sup>C值 的变化在长白山森林叶片一凋落物一土壤连续体有 机碳动态[9]、凋落叶 DOM 对林地土壤有机碳矿化激 发效应[10] 及荒漠植物白刺对新固定碳在植物一土壤 系统中的分配[11]等方面开展了研究。喀斯特区土壤剖 面的813C值已有研究[2,7],初步得出了喀斯特区土壤剖面 δ13C值变化特征。然而,喀斯特区土壤由不同岩性的母 岩发育形成,如石灰岩主要由方解石(CaCOa)组成,白云 岩主要由白云石(CaMg(CO3)2)组成,白云岩岩化过 程中, MgO 和 CaO 含量比例从低变高[12], 岩石中

Si、Al、Fe<sup>2+</sup>、Fe<sup>3+</sup>、Kr、Ba、Ni 元素的形成和分解受到环境影响很大<sup>[13-14]</sup>。不同矿物组成和不同结构的岩石,其风化所形成的土壤在理化性质、土层厚度等方面产生差异,对植物的生长和生理活动产生较大影响,会形成不同的 $\delta^{13}$ C值,而 $\delta^{13}$ C值在喀斯特森林植物一枯落物一土壤系统中的变化规律研究较少,特别是不同岩性上森林植物一枯落物一土壤系统 $\delta^{13}$ C值变化特征还未见报道。

本文采用碳同位素的方法,选取贵州分布面积较大的石灰岩、白云岩、白云质砂岩 3 种岩性发育土壤上生长的林分,选择柏木、猴樟、马桑、光皮桦、桤木、圆果化香 6 个常见造林树种为优势种构建的林分。测定不同岩性上所选树种的各个器官、枯落物、林分土壤的 8<sup>13</sup> C值,揭示有机碳在各林分及其土壤中的变化特征,了解碳元素的迁移与转化,为喀斯特地区碳元素循环转化及养分迁移转化特征提供依据和参考。

# 1 材料与方法

#### 1.1 样地概况

研究区选择依据贵州碳酸盐岩组的分布<sup>[15]</sup>,在 其他环境背景基本一致的条件下,选择3种岩性充分 发育地点作为研究样区(表1),利用贵州省森林资源 二类调查数据及实地调查,选择各岩性上的优势树 种,以优势种构建的林分代表所选树种整体林分特 征。其中,猴樟、柏木、马桑3个优势种在3种岩性中 均有,其余优势种确保在2种岩性上有。

#### 1.2 样品采集

群落调查:2017年6—9月,在预选研究区,在白云岩、白云质砂岩、石灰岩3种岩性发育的土壤上选择林龄和林分特征尽量一致的纯林林分,采用常规群落调查方法,乔木样地面积为20m×20m,灌木样地面积为10m×10m,每种树种林分选择3块样地。

树种器官样品采集:在所选树种群落样地中,每个 样地选取1株平均木作为样树,采集鲜叶和杆、枝、根样 品,用于各器官8<sup>13</sup>C值测定。叶片采集:在树冠中上层分 东南西北4个方位,分别选取伸展枝条为标准枝,在标 准枝上采摘 20 片新鲜叶片,每株样树共 80 片鲜叶混合。 每个岩性上,每个树种取3株样树,共取6个树种计45

个叶片样品。枝杆、根样品采集:按上述选取树株为样 树,每岩性每种树选取3株样树,将样树连根挖出,分别 于杆、枝、根上用刀、锯采集 50 g 左右样品(枝、杆样品混 合),杆枝、根样品各取45个,取样完成后将样品装入有 透气性的袋子带回,将带回的样品清洗、烘干、冷却、粉 碎,过20目筛后装入封口袋待测[16]。

岩性	样地地理区域	研究区概况	样地类型	样地基本特征
		位于贵州省贵阳市修文县龙场镇沙溪村	桤木林	海拔 $1$ $350$ m,西北向,坡度 $25^\circ$ ,土壤为黄壤,人工纯林,树龄 $15$ 年。群落结构较简单,具乔灌草层,乔木层为桤木,高 $5{\sim}8$ m。其覆盖度为 $30\%$
	东:106°35′29″E	修文河右岸,海拔 1 100~1500 m,年平 均温 16.5 ℃,≥100 ℃活动积温 4 097.	柏木林	海拔 $1$ $414$ m,东北向,坡度 $40^\circ$ ,土壤为黑色石灰土,人工纯林,树龄 $16$ 年。群落结构简单,乔木层主要为柏木,高 $5\sim8$ m,覆盖度为 $30\%$
白云岩 西:106°3 南:26°49	西:106°33′21″E 南:26°49′44″N	40 ℃,年平均降水量 1100mm,全年日照 时间 1 359.4 h,属亚热带季风气候区。	马桑灌丛	海拔 $1$ 283 m,东北向,坡度 $10^\circ$ ,土壤为黄壤,次生天然林,树龄 $10$ 年。层次结构较简单,灌木仅为马桑和一些藤刺,高度 $1.5\sim3$ m,覆盖度占 $60\%$
	北:26°51′37″N	土层石砾含量高,土层浅薄,土壤以白云质灰岩为主发育的黄壤和黑色石灰土。 现在植被为久种次生系林 遊五林 遊木	猴樟林	海拔 1 358 m, 东向, 坡度 25°, 土壤为石灰土, 人工纯林, 树龄 16 年。群落结构简单, 乔木层为 猴樟, 高度为 $4\sim 8$ m. 覆盖度为 $80\%$
		现存植被为各种次生乔林、灌乔林、灌木林,藤刺灌丛,植被盖度80%	光皮桦林	海拔 $1$ 368 m,东北向,坡度 $15^\circ$ ,土壤为黑色石灰土,次生天然纯林,树龄 $16$ 年。群落结构较完整,乔木层为光皮桦,覆盖度为 $70\%$ 。
		位于贵州省东南部的凯里市凯棠镇,海 拔523~1 233 m。年平均气温 13.6~	圆果化 香林	海拔 668 m,东北向,坡度 38°,土壤为石灰土,次生天然林,树龄 13 年左右。群落结构单一,灌木主要是圆果化香,平均高度 1.8 m。覆盖度为 55%
	东:107°59′08″E 西:107°56′48″E	16.2 ℃,1 月平均气温 2.6~5.2 ℃,年均 日照时间 1 289.1 h,年均降水量 1 240.4 mm,年均相对湿度 78%,无霜期 288 d。	马桑灌丛	海拔 622 m,东南向,坡度 30°,土壤为黄色石灰土,次生天然林,树龄 10 年。层次结构单一,主要为灌木层,灌木仅有马桑,高度为 2.5~3 m。覆盖度占 30%
砂岩	南:26°33′53″N 北:26°34′40″N		猴樟林	海拔 $615 \text{ m}$ ,东向,坡度 $38^\circ$ ,土壤为黄色石灰土,人工纯林,树龄 $13$ 年左右。群落结构比较简单,高度为 $2.5\sim6$ m,乔木层覆盖度为 $30\%$
			柏木林	海拔 626 m,南向,坡度 30°.土壤为石灰土,人工纯林,树龄 20 年左右。群落层次结构完整,乔木层最为发达,高 5~8 m,其覆盖度为 75%
			马桑灌丛	海拔 $1$ $230~m$ ,东北向,坡度 $25^\circ$ ,土壤为黄棕壤,次生天然林,树龄 $10~$ 年。层次结构较完整,主要为灌木层及草本层,高度为 $1.5\sim3~m$ 、灌木覆盖度占 $45\%$
		位于贵州省安顺市关岭县永宁镇和普利 乡,海拔800~1500m。年平均气温为	光皮桦林	海拔 $1$ $404~m$ ,东北向,坡度 $10^\circ$ ,土壤为黄棕壤,次生天然纯林,树龄 $16~$ 年。 群落结构较简单 乔木层为光皮桦,高度为其覆盖度为 $40\%$
石灰岩	东:105°34′09″E 西:105°28′03″E	16.2 ℃,年平均最高气温为 16.9 ℃,最 低气温 15.4 ℃,雨量充沛,年降水量	圆果化香林	海拔 $1$ 581 m,南向,坡度 $60^\circ$ ,土壤为石灰土,次生天然林,树龄 $14$ 年左右。群落结构单一,灌木层主要是圆果化香,平均高度 $1.8$ m,覆盖度为 $30\%$
(stone)	南:25°46′52″N 北:25°55′59″N	1 205.1~1 656.8 mm。该区主要以中亚 热带季风湿润气候为主,四季分明,雨热	猴樟林	海拔 $1$ 432 m,东南向,坡度 $15^\circ$ ,土壤为石灰土,人工纯林,树龄 $16$ 年左右。群落结构单一,高度为 $2.5\sim5$ m。乔木层覆盖度为 $50\%$
		同季。土壤主要有石灰土、黄棕壤等。 现存植被主要为天然次生林和人工林	柏木林	海拔 $1$ 545 m,东北向,坡度 45°,土壤为黑色石灰土,人工纯林,树龄 $16$ 年左右。群落层次结构简单,有少量灌木,柏木高 $4\sim8$ m,覆盖度为 $40\%$
			桤木林	海拔 1 468 m,东北向,坡度 25°,土壤为黄棕壤,天然纯林,树龄 20 年左右。群落结构较简单

桤木林

枯落物采集:2017年10-11月,用收集网收集 林中样地枯落物,用 20 目的尼龙网制成  $1 \text{ m} \times 1 \text{ m}$ 收集框,悬挂在样地林分中或置放于林地上,每个样 地 1 个收集框,每个树种林分按"品"字形放置 3 个收 集框,共收集 45 个新鲜枯落物样品。带回洗净、烘 干、粉碎。半分解层收集:在每个林分样地中设置  $1 \text{ m} \times 1 \text{ m}$  样方,刨开新鲜枯落物层,贴近土壤层,收 集具有明显分解状态的枯落物,共收集 45 个样品,带 回烘干、粉碎备用。

土壤样品采集:由于研究区属典型喀斯特区,岩 石裸露率高,土层浅薄,生境破碎,在样地内按梅花状 或"S"形取样,分0-20 cm、根际土、20-40 cm 取样。取 样用取样锄头、铁铲挖出剖面,先取 20—40 cm 土层土 壤,然后取 0-20 cm 土壤,根际土取上层土中树根上 或附近壤土。每个样地选择 5 个点取样分层混合。 每种岩性上每个树种林分样地每个土层取 3 个混合 土样,共取135个样品,取毕带回实验室后风干、磨 细,分别过 0.5,0.2 mm 筛,储于广口瓶。将过 0.5 mm 筛的土壤样品用 1 mol/L 盐酸除去土壤中的无 机碳,用去离子水充分洗净样品中过量盐酸备测。

#### 1.3 测定方法

乔木层为桤木,高8~15 m,其覆盖度为50%

2017年12月,将酸化后的土壤样品,植物器官 及枯落物样品送至国家海洋局第三海洋研究所稳定 同位素质谱实验室测定,仪器型号为 TC/EA-

IRMS( Delta V advantage),采用 PDB(Pee Dee Belemnite)标准,测量误差<0.05‰。

δ<sup>13</sup>C值计算依据国际通用标准形式<sup>[17]</sup>,计算公 式为:

$$\delta^{13} C = \left[ (^{13} C/^{12} C)_{\text{sample}} - (^{13} C/^{12} C)_{\text{standard}} \right] / (^{13} C/^{12} C)_{\text{standard}} \times 1000\%$$

式中:δ<sup>13</sup> C/<sup>12</sup> C)<sub>sample</sub> 为样品的碳同位素比率; (<sup>13</sup> C/<sup>12</sup> C)<sub>standard</sub> 为标准的 PDB 同位素比率。

过 0.2 mm 筛的土壤样品用于测定土壤有机质和全 氮含量,有机质含量采用常规重铬酸钾氧化一外加热法 测定,土壤全氮采用半微量开氏法[18]测定,pH 采用常规 pH计测定。

#### 1.4 有机质更新率和有机碳周转率

有机质更新率:土壤有机质的分解将引起土壤碳 同位素比率发生改变,因此,土壤有机质的δ<sup>13</sup>C值随 着土层深度的变化可近似地反映土壤有机质的分解 特征[19],本文用不同林分的优势树种对上层土壤有 机质输入的影响,以土壤上下层(即 0-20,20-40 cm)δ<sup>13</sup>C值变化来揭示土壤自下层至上层有机质的 更新率,用土壤有机质更新率公式[20],计算公式为:

$$f = \frac{(\delta - \delta_b)}{(\delta_p - \delta_b)}$$

式中:f 为经过时间 t 后上层土壤有机质来自林分优势 树种的有机质所占比例即土壤有机质更新率(%); $\delta$ 。为

起始土壤(下层)有机质的δ<sup>13</sup>C值(%);δ,为林分优势种 的 $\delta^{13}$ C值(%); $\delta$  为经过时间 t 后土壤(上层)有机质的 δ<sup>13</sup>C值(%)。

有机碳周转率:采用一元回归分析方法研究土壤 δ<sup>13</sup>C值和 SOC 含量自然对数值(log SOC)之间的关 系,根据回归方程斜率值 K 来评价 3 种岩性上各种 植物群落 SOC 的周转率[9]。

#### 1.5 数据处理

数据处理采用 Excel 2013 和 SPSS 19.0 软件统 计分析,对岩性间、树种间及不同部分δ<sup>13</sup>C值采用单 因素方差分析(one-way ANOVA)和相关性分析 (CA), 显著性水平  $\alpha = 0.05$ , 作图采用 Excel 2013、 Origin 8.6 软件作图。

# 结果与分析

#### 2.1 土壤 C/N、pH 和有机碳含量剖面分布特征

C/N 是土壤有机质组成结构的重要指标,而土 壤pH主要是通过对微生物群落直接影响而对凋落 物分解产生间接影响。由表 2 可知,3 种岩性发育的 土壤 0-20 cm 到 20-40 cm 层次的 C/N 值存在显 著性差异,上层土壤碳含量较为丰富,从上至下,碳元 素逐渐分解。由表3可知,3种岩性发育的土壤呈微 酸性至碱性,多数土壤呈碱性,白云质砂岩土壤"偏 酸",而白云岩和石灰岩土壤呈微碱性。

衣 2	3 仲石性优势例仲群洛工块 C/N

岩性	土层深度/cm	柏木	猴樟	马桑	光皮桦	桤木	圆果化香
	根际土	11.05±0.09A	$11.75 \pm 0.11A$	10.87±0A	$16.70 \pm 0.05 A$	9.14±0.01A	
白云岩	0 - 20	$11.31 \pm 0.08 A$	$10.01 \pm 0.02B$	$11.27 \pm 0.04 A$	$17.09 \pm 0.01 A$	$11.61 \pm 0.06 \mathrm{B}$	
	20 - 40	$10.72 \pm 0.04 \mathrm{B}$	$11.33 \pm 0\mathrm{A}$	$9.17 \pm 0.06 \mathrm{B}$	$12.52 \pm 0.08B$	$8.96 \pm 0.01 A$	
	根际土	$11.75 \pm 0.01 A$	$12.17 \pm 0.08 A$	$10.70 \pm 0\mathrm{A}$			$13.81 \pm 0.03 A$
白云质砂岩	0 - 20	$11.75 \pm 0.06 \mathrm{A}$	$11.20 \pm 0.05 B$	$10.65 \pm 0.04 A$			$13.98 \pm 0.07 A$
	20 - 40	$11.43 \pm 0.02 A$	$11.60 \pm 0.05 B$	$9.40 \pm 0\mathrm{B}$			$10.08 \pm 0.01B$
	根际土	$10.84 \pm 0.07 \mathrm{A}$	$10.26 \pm 0.04 \mathrm{A}$	$11.33\!\pm\!0\mathrm{A}$	$10.27 \pm 0.02 A$	$12.11 \pm 0.03 A$	$11.9 \pm 0.03 A$
石灰岩	0 - 20	$10.60 \pm 0.06 \mathrm{A}$	$10.92 \pm 0.01 A$	$10.30 \pm 0.01 A$	$10.58 \pm 0.01 A$	$11.67 \pm 0.04 A$	$11.17 \pm 0.02 A$
	20 - 40	$9.45 \pm 0\mathrm{B}$	$9.59 \pm 0\mathrm{B}$	$8.24 \pm 0.02 \mathrm{B}$	$7.16 \pm 0.01 B$	$10.56 \pm 0.05 \mathrm{B}$	$8.59 \pm 0B$

注:表中数据为平均值士标准差,n=6;同列不同大写字母表示同一岩性、不同土层间显著差异(P<0.05);——表示该树种在本岩性上不存 在。下同。

表 3 3 种岩性优势树种群落土壤 pH							
岩性	土层深度/cm	柏木	猴樟	马桑	光皮桦	桤木	圆果化香
	根际土	$7.43 \pm 0.01$	$7.35 \pm 0$	$6.28 \pm 0.03$	$7.68 \pm 0.08$	$6.23 \pm 0.11$	
白云岩	0 - 20	$7.31 \pm 0.02$	$7.03 \pm 0.24$	$5.34 \pm 0.08$	$7.36 \pm 0.73$	$5.25 \pm 0$	
	20-40	$7.02 \pm 0$	$6.83 \pm 0.31$	$5.06 \pm 0.94$	$7.04 \pm 0.02$	$4.97 \pm 0.33$	
白云质砂岩	根际土	$6.83 \pm 0.09$	$5.74 \pm 0.06$	$5.80 \pm 0.44$			$7.84 \pm 0.52$
	0 - 20	$6.83 \pm 0.04$	$5.51 \pm 0.17$	$5.56 \pm 0.30$			$7.37 \pm 0.11$
	20 - 40	$6.44 \pm 0.01$	$5.18 \pm 0.21$	$5.32 \pm 0.05$			$6.44 \pm 0$
石灰岩	根际土	$7.91 \pm 0.01$	$7.48 \pm 0.76$	$6.21 \pm 0.17$	$6.27 \pm 0$	$7.60 \pm 0.37$	$7.40 \pm 0.66$
	0 - 20	$7.83 \pm 0.41$	$7.01 \pm 0.51$	$5.41 \pm 0.06$	$6.48 \pm 0.22$	$6.75 \pm 0.13$	$7.45 \pm 0.16$
	20 - 40	$7.42 \pm 0.94$	$6.53 \pm 0.33$	$5.22 \pm 0.11$	$5.88 \pm 0.36$	$6.73 \pm 0.04$	$7.38 \pm 0.65$

由表 4 可知,白云质砂岩土壤有机碳含量总体上低于其他 2 种岩性的土壤,白云岩 20—40 cm 土壤较其他 2 种岩性低。马桑林、桤木林、石灰岩上光皮桦林有机碳含量较其他林分低,其林分土壤多为黄壤或黄棕壤土,土壤呈酸性而黏重。有机碳在岩性之间存在差异,柏木林土壤在不同岩性间存在极显著差异

(P<0.001);圆果化香林土壤在石灰岩和白云质砂岩上存在极显著性差异(P<0.001);桤木林在石灰岩和白云岩上存在极显著差异(P<0.001);马桑林在白云质砂岩上与其他2种岩性表现出极显著差异(p<0.001)。而在石灰岩和白云岩之间无显著性差异。其他树种林分有机碳在岩性间没有显著性差异。

表 4 3 种岩性上优势树种群落土壤有机碳含量

——————— 岩性	土层	优势树种有机碳含量/(g·kg <sup>-1</sup> )						
<b>石</b> 住	深度/cm	柏木	猴樟	马桑	光皮桦	桤木	圆果化香	
	根际土	59.63±1.10Aa	35.46±0.54Aa	$30.77 \pm 1.22 \mathrm{Aa}$	50.31±0.94Aa	14.98±0.03Aa		
白云岩	0 - 20	$63.51 \pm 0.81 \mathrm{Aa}$	$22.50 \pm 0.04 \mathrm{Ba}$	$31.89 \pm 0.91 \mathrm{Aa}$	$34.58 \pm 1.31 \mathrm{Ba}$	$23.57 \pm 0.21 Ba$		
	20 - 40	$17.89 \pm 0.02 \mathrm{Ba}$	$19.60 \pm 0.06 \mathrm{Ba}$	$7.54 \pm 0.06 \mathrm{Ba}$	15.78±0.84Ca	$8.90 \pm 0 \mathrm{Aa}$		
	根际土	$35.41 \pm 0.05 \text{Ab}$	$31.08 \pm 1.01 \text{Aa}$	$18.74 \pm 0\mathrm{Ab}$			$36.79 \pm 1.03 Aa$	
白云质砂岩	0 - 20	$44.71 \pm 1.34 \mathrm{Bb}$	$26.97 \pm 0.88 \mathrm{Ba}$	$18.60 \pm 0 \mathrm{Ab}$			$42.50 \pm 0.77 \mathrm{Aa}$	
	20 - 40	$31.66 \pm 1.14  \mathrm{Ab}$	$26.00 \pm 0.24 \mathrm{Bb}$	$12.23 \pm 0.47 \mathrm{Bb}$			$21.13 \pm 0.54 Ba$	
	根际土	$104.49 \pm 1.27 \mathrm{Ac}$	$33.55 \!\pm\! 0.06 \mathrm{Aa}$	$32.21 \pm 0.11 \text{Aa}$	$22.29 \pm 0.44 \mathrm{Ab}$	$23.42 \!\pm\! 0.97 \mathrm{Aa}$	$65.10 \pm 0.97 \mathrm{Ab}$	
石灰岩	0 - 20	$93.03 \pm 1.74 Ac$	$32.30 \pm 1.35 \mathrm{Aa}$	27.06±0.31Aa	$19.99 \pm 0.05 \text{Ab}$	$36.37 \pm 0.64 \text{Bb}$	$63.07 \pm 0.69 \mathrm{Ab}$	
	20 - 40	$58.51 \pm 1.56 Be$	$20.26 \pm 0.01 \mathrm{Ba}$	$13.08\!\pm\!0.33\mathrm{Bc}$	$11.24 \pm 0.06 \mathrm{Bb}$	$14.90 \pm 0.03$ Ca	$31.35 \pm 0.51 Bb$	

注:同列不同大写字母表示相同岩性不同土层间差异极显著(P<0.01);同列不同小写字母表示相同土层不同岩性间差异显著(P<0.05)。

# 2.2 不同岩性优势树种、枯落物和表层土壤有机质的 $\delta^{13}$ C值

2.2.1 不同岩性优势树种各器官的 $\delta^{13}$ C值 利用单因素方差分析岩性间林分 $\delta^{13}$ C值的差异性表明(样本选取叶、枝杆样品值,n=6),石灰岩柏木 $\delta^{13}$ C值与其他岩性呈极显著性差异(P<0.001),桤木在石灰岩与白云岩呈显著性差异(P=0.024),其他 4 个树种在岩性间无显著性差异,说明喀斯特区部分树

种  $\delta^{13}$  C值的形成受岩性影响。同种岩性不同树种间  $\delta^{13}$  C值也存在显著性差异,白云岩猴樟、柏木、马桑 3 个树种相互间或与其他树种呈极显著差异 ( $P \leq 0.001$ );白云质砂岩猴樟与其他 3 树种呈极显著差异 (P < 0.001);石灰岩上猴樟、马桑与其他树种呈极显著差异 (P < 0.001);石灰岩上猴樟、马桑与其他树种呈极显著差异(P < 0.001),表明部分树种间 $\delta^{13}$  C值存在差异。3 种岩性上不同树种均表现出根>枝杆>叶片的分布格局(表 5)。

表 5 3 种岩性上不同树种各器官 $\delta^{13}$ C值

单位:‰

岩性	器官	柏木	猴樟	马桑	光皮桦	桤木	圆果化香
	根	$-25.35\pm0.04\mathrm{Aa}$	$-27.51 \pm 0 \mathrm{Ab}$	$-26.20\!\pm\!0.04\mathrm{Ac}$	$-27.68 \pm 0\mathrm{Abd}$	$-27.61\pm0.06\mathrm{Ad}^{*}$	
白云岩	枝杆	$-25.64 \pm 0.01 \mathrm{Ba}$	$-28.71 \pm 0.01 \mathrm{Bb}$	$-26.94 \pm 0.01$ Bc	$-27.98 \pm 0.01  \mathrm{Abd}$	$-28.03\pm0.03$ Bb *	
	鲜叶	$-27.26 \pm 0 \mathrm{Ca}$	$-29.97 \pm 0.06 \text{Cb}$	$-27.91 \pm 0.06$ Cc	$-29.94 \pm 0.11 \mathrm{Bb}$	$-28.95\pm0$ Cd*	
	根	$-25.43\pm0.02\mathrm{Aa}$	$-28.74\pm0.02\mathrm{Ab}$	$-25.78 \pm 0.01 \mathrm{Aa}$			$-28.11 \pm 0.07 \mathrm{Ac}$
白云质砂岩	枝杆	$-25.61\pm0.01\mathrm{Aa}$	$-30.73 \pm 0$ Bb	$-26.76 \pm 0.04 \mathrm{Bc}$			$-28.22 \pm 0 \mathrm{Ad}$
	鲜叶	$-27.19 \pm 0.04 \mathrm{Ba}$	$-31.49 \pm 0.94 \text{Cb}$	$-27.91 \pm 0$ Ca			$-28.97 \pm 0.01$ Bc
	根	$-27.16\pm0.02\mathrm{A}$ a * *	$-28.28\pm0.01 \mathrm{Ab}$	$-25.71 \pm 0 \mathrm{Ac}$	$-27.40\pm0.03\mathrm{Aa}$	$-28.16\pm0.01{ m Ab}^{*}$	$-27.12 \pm 0 \mathrm{Aa}$
石灰岩	枝杆	$-27.12\pm0.04\mathrm{Aa}^{*}$	$-29.34 \pm 0.01 \mathrm{Bb}$	$-26.67 \pm 0$ Be	$-27.71 \pm 0.05 \mathrm{Ad}$	$-28.87 \pm 0.03$ Be *	$-27.38 \pm 0.04 \mathrm{Bad}$
	鲜叶	$-29.32\pm0.41\mathrm{B}$ a * *	$-31.85 \pm 0.73 \text{Cb}$	$-26.99 \pm 0.25$ Cc	$-29.25 \pm 0.46$ Ba	$-29.78\pm0.08$ Ba*	$-29.84 \pm 0.22$ Ca

注:同列不同大写字母表示同一岩性间差异显著(P < 0.05);同行不同小写字母表示同一器官在不同树种间差异极显著(P < 0.01); \*\*表示本树种在该岩性上与其他岩性间存在极显著差异; \*表示本树种在该岩性上与其他岩性间存在显著性差异。

2.2.2 不同岩性各树种林分枯落物的δ<sup>13</sup>C值 由表6可知,各树种林分中枯落物δ<sup>13</sup>C值表现出半分解层大于新鲜落叶。白云岩树种枯落物δ<sup>13</sup>C值总体增幅较大,白云质砂岩次之,而石灰岩较小。从3种岩性上的林分看,白云岩、白云质砂岩、石灰岩各林分增幅分别为马桑林8.00%,8.17%,6.11%,柏木林5.00%,3.00%,1.23%,猴樟林2.00%,3.00%,2.14%。马桑林和

光皮桦林在各岩性增加较大,平均分别为,7.43%,8.21%。而圆果化香林、柏木林、猴樟林较低,平均值分别为2.67%,3.08%,2.38%。

2.2.3 不同岩性各树种林分土壤的δ<sup>13</sup>C值 由表 7 可知,除柏木林δ<sup>13</sup>C值在 3 种岩性上发育的土壤呈下层<上层外,其他各种树种林分均表现为下层>上层或根际土,根际土与上层土壤无显著性差异。

2.2.4 不同岩性各林分植物一枯落物一土壤系统的 δ<sup>13</sup>C值变化 由图 1 可知,不同岩性各种林分的植物 一枯落物一土壤系统中,δ<sup>13</sup>C值从根、枝杆、新鲜叶 片、枯落物、根际土、0-20,20-40 cm 土层的变化趋基本一致,表现为植物叶片(新鲜枯落物)<枯落物分解层<枝杆<根<上层土壤<下层土壤。

表 6 3 种岩性不同树种枯落物 $\delta^{13}$ C值

单位:‰

岩性	器官	柏木	猴樟	马桑	光皮桦	桤木	圆果化香
白云岩	新鲜枯落物	$-27.55 \pm 0 \mathrm{A}$	$-30.03\pm0.03$ A	$-27.80 \pm 0.01$ A	$-28.86 \pm 0 A$	$-28.39 \pm 0.14 \text{A}$	
日本石	半分解层	$-26.22 \pm 0.11B$	$-29.45 \pm 0.67 \mathrm{B}$	$-25.52 \pm 0.44$ B	$-26.34 \pm 0.77B$	$-26.69 \pm 0.82 \mathrm{B}$	
白云质砂岩	新鲜枯落物	$-27.88 \pm 0.04 \text{A}$	$-31.74 \pm 0.05 A$	$-28.14 \pm 0.01 \mathrm{A}$			$-29.62 \pm 0 A$
	半分解层	$-27.17 \pm 0$ A	$-30.63 \pm 0.22B$	$-25.84 \pm 0.07 \mathrm{B}$			$-28.87 \pm 0.55 \mathrm{A}$
石灰岩	新鲜枯落物	$-29.32 \pm 0 \mathrm{A}$	$-30.44 \pm 0.61 \mathrm{A}$	$-27.02 \pm 0.03 \text{A}$	$-29.45 \pm 0.02$ A	$-29.26 \pm 0.34 \mathrm{A}$	$-28.20\pm0.17\mathrm{A}$
	半分解层	$-28.96 \pm 0.47 \text{A}$	$-29.79 \pm 0.66 \mathrm{A}$	$-25.37 \pm 0.53$ B	$-27.56 \pm 0.96$ B	$-28.27 \pm 0.46$ B	$-27.41\pm0.45$ A
							× 12 0/

表 7 3 种岩性不同树种群落土壤剖面δ <sup>13</sup> C值							
岩性	土层深度/cm	柏木	猴樟	马桑	光皮桦	桤木	圆果化香
	根际土	$-20.42\pm0.02$ A	$-23.73 \pm 0 \mathrm{A}$	$-24.45 \pm 0.01 \mathrm{A}$	$-22.09 \pm 0.33$ A	$-20.70 \pm 0 \mathrm{A}$	
白云岩	0 - 20	$-19.85 \pm 0 \mathrm{A}$	$-22.53 \pm 0B$	$-24.30 \pm 0.04 \mathrm{A}$	$-20.29 \pm 0.46$ B	$-20.37 \pm 0.63 \mathrm{A}$	
	20 - 40	$-20.67 \pm 0.03 \mathrm{A}$	$-21.76 \pm 0.06 \mathrm{B}$	$-21.57 \pm 0.04 \mathrm{B}$	$-19.78 \pm 0.16$ B	$-18.46 \pm 0.11B$	
	根际土	$-16.07 \pm 0.07 \mathrm{A}$	$-18.95 \pm 0 \mathrm{A}$	$-20.95\pm0.22$ A			$-21.86 \pm 0.27\mathrm{A}$
白云质砂岩	0 - 20	$-18.57 \pm 0.66 \mathrm{B}$	$-17.38 \pm 0.11B$	$-20.14 \pm 0.32 \mathrm{A}$			$-21.69 \pm 0.36 \mathrm{A}$
	20 - 40	$-19.66 \pm 0.02 \mathrm{C}$	$-17.13 \pm 0.01$ C	$-19.77 \pm 0.41$ B			$-21.17 \pm 0.57 \mathrm{B}$
	根际土	$-21.09 \pm 0.24 \mathrm{A}$	$-21.29 \pm 0.28 \mathrm{A}$	$-22.64 \pm 0.31 \mathrm{A}$	$-21.38 \pm 0.42 \mathrm{A}$	$-24.92 \pm 0.32 \mathrm{A}$	$-19.86 \pm 0.08 \mathrm{A}$
石灰岩	0 - 20	$-20.72 \pm 0 \mathrm{A}$	$-21.27 \pm 0.36 \mathrm{A}$	$-22.70\pm0.03$ A	$-21.31 \pm 0.27 \mathrm{A}$	$-25.93 \pm 0.47 \mathrm{B}$	$-19.38 \pm 0.05 \mathrm{A}$
	20-40	$-21.53 \pm 0.10 \mathrm{A}$	$-20.45 \pm 0B$	$-21.83 \pm 0.01B$	$-20.52 \pm 0B$	$-24.20 \pm 0.11 \mathrm{A}$	$-19.27 \pm 0.18$ A

注:同列不同大字母表示同一岩性上不同土层间差异显著(P<0.05)。由表 6、表 7 可知,植物一枯落物一土壤系统中,土壤层、植物体(枯落物)、半分解层之间呈显著性差异(P<0.05),与枯枝落叶层相比,各种岩性土壤有机质δ<sup>13</sup>C值均有上升但幅度有所不同,白云质砂岩中猴樟、柏木群落升幅较大,分别为 11.68‰,11.1‰,而白云岩上马桑、石灰岩上桤木群落升幅较小,分别为 1.07‰,2.73‰。

#### 2.3 不同优势树种群落土壤有机质的更新率

本文利用各林分上下层土壤δ<sup>13</sup>C值变化表达有机质更新状况,研究发现,通过引用公式计算柏木林 更新率为负值,因此,图中未表示出来(图 2)。

以3种岩性均有的猴樟和马桑林分土壤有机质的更新率为平均值,3种岩性土壤有机质更新率分别为白云岩26.57%、石灰岩12.52%、白云质砂岩3.05%。不同树种林分的土壤有机质更新率为桤木林26.71%、马桑林21.66%、光皮桦林7.22%、猴樟林6.43%、圆果化香林3.65%,总体上表明,桤木林、马桑林土壤更新率较大,猴樟、圆果化香等林分土壤更新率较低。

#### 2.4 不同岩性上各林分土壤有机碳的周转速率

用  $\log$  SOC 和 $\delta^{13}$  C值的回归模型能够较好解释土壤 $\delta^{13}$  C值的变异特征<sup>[9]</sup>,白云岩和石灰岩植物群落 SOC 含量与 $\delta^{13}$  C值之间有较好的相关性,白云质砂岩上没有相关性。白云岩上回归方程斜率 K 值为 3.15,石灰岩上为 0.85(表 8)。表明白云岩上群落有

机碳的周转率最大,石灰岩较小。

### 3 讨论

#### 3.1 不同岩性树种植株δ<sup>13</sup>C值特征及变化

本研究表明,研究区所选择树种林分δ<sup>13</sup>C值既 表现出自身特性,部分树种也受到岩性影响,柏木、 马桑叶片  $\delta^{13}$  C 值 较 大, 猴 樟 最 小, 白 云 质 砂 岩 柏 木叶片δ<sup>13</sup>C值最大(-27.19%),石灰岩猴樟最小(-31.50%),结果与贵州喀斯特区和石漠化区树种叶片  $\delta^{13}$ C 值 范 围 (  $-26.98\% \sim -29.15\%$ ) [21] 和  $(-25.55\% \sim -30.28\%)^{[17]}$ 相似。表明本研究测定 的 $\delta^{13}$ C值位于喀斯特区树种 $\delta^{13}$ C值范围内。以3种 岩性上均有的柏木、马桑、猴樟树种δ<sup>13</sup>C值进行比较, 石灰岩上柏木与其他 2 种岩性呈极显著差异(P< 0.001),马桑、猴樟在岩性间无显著差异。岩石形成 的环境、形成机制、组成成分和比例存在差异,体现在 后期风化成土过程中风化过程和形成植物生存环境 及土壤性质上也有差别。如石灰岩的岩溶作用比白 云岩强烈,形成的小生境和土壤性质有所不同,这些 小生境和土壤性质必然对部分树种的生理活动产生 影响。但从研究结果看出,岩性并不是对所有树种 δ<sup>13</sup>C值产生影响,马桑、猴樟等树种在岩性上没有表 现出显著差异。相同岩性发育的土壤上,树种不同,

δ<sup>13</sup>C值也有差异,猴樟、柏木、马桑在3种岩性上均存

在极显著性差异(P<0.001),这主要是树种本身的生物学特性引起的。各种岩性上所有树种植物体中 $\delta^{13}$ C值分布格局基本一致,根比枝、叶有显著增加,并呈极显著差异(P<0.001),这主要是不同器官所含木质素、脂类、纤维素等组分不一致引起的,脂类和木质素的 $^{13}$ C 比其他组分更加贫化 $^{[22]}$ 。另外,各器官在呼吸代谢过程中,释放 $^{13}$ C 的量也存在差异,也有可能导致各器官之间 $\delta^{13}$ C值的差异,从而形成了叶片<枝杆<根的分布格局。

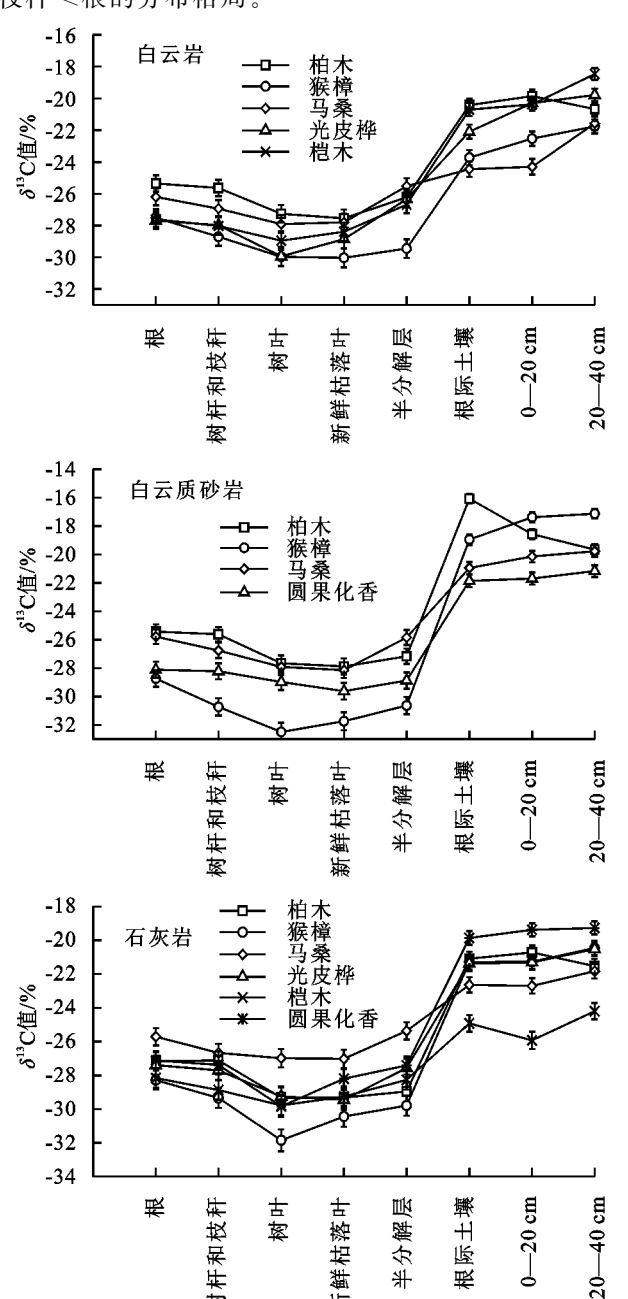
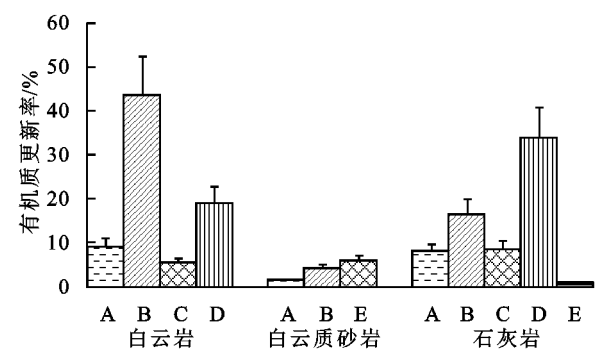


图 1 3种岩性各种植物群落植物-枯落物-土壤δ<sup>13</sup>C值变化
 3.2 喀斯特区森林植物-枯落物-土壤系统有机质 δ<sup>13</sup>C值变化特征

不同岩性上,各种林分群落植物一枯落物一土壤 系统有机质δ<sup>13</sup>C值的变化规律总体表现出植物叶片 (新鲜枯落物)<枯落物分解层<枝杆<根<上层土 壤<下层土壤,δ¹³ C值在系统内从光合作用吸收 C 到枯落物在土壤中逐渐分解释放 C 是逐渐增加的,与很多结论一致[9,23-24]。随着土层加深,枯落物分解,δ¹³ C值逐渐增大,主要原因:一是微生物分解的分馏效应,微生物在分解有机质过程中具有选择性,优先分解轻同位素成分(如木质素和脂类),从而土壤中重同位素成分增加[25];二是枯落物含有不同的组分,各组分的降解难易程度不同,易降解物质(如单糖类)逐渐减少,难降解类物质(如纤维素)逐渐增加,而难降解类物质比易降解类物质富含δ¹³ C[22];三是外部大气环境影响,地球大气¹³ CO₂ 在近 100 多年来不断贫化。这些原因综合导致植物一枯落物一土壤系统产生有机质δ¹³ C值逐渐增加的生态学过程。



注:A 为猴樟;B 为马桑;C 为光皮桦;D 为桤木;E 为圆果化香。

图 2 3 种岩性各种植物群落有机质更新率 表 8 3 种岩性各林分土壤有机碳对数值与 δ<sup>13</sup> C值之间回归模型参数

岩性类型	回归方程	$R^{2}$	P
白云岩	y = -3.1455x - 6.443	0.4944	<0.01
白云质岩	y = -0.2147x - 19.949	0.1336	>0.05
石灰岩	y = -0.8517x - 15.195	0.1456	< 0.05

枯落物—土壤界面是生物地球化学循环中重要的生态学界面,与枯落物比较,土壤δ¹³C值有大幅度增加,这与李龙波等<sup>[2]</sup>、Buchman等<sup>[27]</sup>研究结果一致。但本研究中,白云质砂岩上林分的土壤δ¹³C值表现出较大增幅,一般认为,输入土壤有机物的来源植物类型是影响δ¹³C值的主要因素,碳同位素分馏过程通常使土壤中δ¹³C值的变幅在1.0%~3.0%,变幅高于3.0%,则通常可能意味着输入土壤中的有机物质是C₃和C₄植物的混合<sup>[27-28]</sup>。本研究部分林分增加幅度较大,说明林分土壤有机质组成不仅是优势树种,还有δ¹³C值较大的种类,此推论在样地调查中得到很好证实,尤其是白云质砂岩上林分,由于土层浅薄,含砂量大,水分渗漏,水肥严重贫瘠,不利于乔木树种生存,但白茅(Imperata cylindrica var. major)和芒(Miscanthus sinensis)等C₄植物先锋物种却生

长茂盛, $C_4$ 草本植物对林分土壤中 $\delta^{13}$ C"富集"贡献大,故土壤中 $\delta^{13}$ C值增幅较大,这也说明喀斯特区林分 $\delta^{13}$ C来源的多样性。

#### 3.3 不同岩性各种林分土壤有机质更新

植物群落在发展过程中,通过枯落物向土壤输入 有机质。土壤老有机质被分解,而植物新输入枯落物 通过腐殖化形成新的有机质,进而促进土壤有机质的 更新[29]。不同树种林分有机质更新率差异较大,白 云岩上马桑林、石灰岩上桤木林较高,分别为43.84%, 34.17%, 石灰岩上的圆果化香林最低, 为1.15%。这比 利用δ<sup>13</sup>C同位素测定盆栽玉米试验更新率范围(22%~ 25%)[30]要大。马桑林、桤木林有机质更新率大,主 要双重因素引起的:一是这 2 个树种叶片 C/N 值较 其他树种低(27.08,22.26),C/N 值低,更容易分 解[31],二是结合表3看,马桑林、桤木林土壤为黄壤, 土壤"酸"而黏重,枯落物分解后,有机质难以到达到 下层,形成上层丰富,下层贫瘠的分布格局(表 4)。 圆果化香群落有机质更新率低,土壤有机碳含量却丰 富,主要是群落土壤多为石灰土,质地疏松,且圆果化 香群落多分布在陡峭的山峰、山顶,坡度较大,有机碳 "淋溶"和"下渗"较多,同时群落内草本植物较多, δ<sup>13</sup>C混合较多,导致上下层土壤δ<sup>13</sup>C值变化无明显规 律,计算出更新率偏低。柏木林下层土壤δ<sup>13</sup>C值比上 层土壤低,更新率为负值,这主要可能是柏木是乔木, 根系发达,能伸入土壤下层,而柏木枝叶枯落物少,根 系对土壤δ<sup>13</sup> C值影响占主导地位,造成下层土壤δ<sup>13</sup> C 值小于上层。

土壤中其他碳迁移过程如生物扰动、溶解性有机 碳的淋溶也会影响到土壤813C值的垂直分布格局中。 但矿化作用被认为是其主导机制[32],本研究区气候 一致,树种枯落物的数量和分解难易程度成为影响有 机质矿化过程的主要因子,如在本研究中马桑、桤木 叶子量大、分解快,有机质更新相对其他树种较快;贵 州喀斯特山地,有机碳受淋溶的物理作用不容忽视, 一些树种林分分布在坡度较陡的山顶或山峰上,泥土 少,雨水淋溶程度大,群落积累的有机质"下渗"较多, 土壤上下交换发生多,导致δ<sup>13</sup>C垂直分布格局差异 大,如柏木、圆果化香群落。喀斯特区,林分虽然表现 为纯林,但土壤干旱、瘠薄,特别是白云质砂岩区,林 分中生长着更适应这种生境的 C4 草本和灌木,数量 多且长势好,对有机质贡献大,所以研究优势树种土 壤有机质更多表现为优势树种构建的林分所形成, C元素来源的多样性决定了林分土壤有机质更新特 征的复杂性。总体上看,马桑林、桤木林对土壤有机 质更新较快,适应养分贫瘠的喀斯特生境。另外,不同岩性发育的土壤性质不同,也会导致有机质更新率的差异。白云岩(26.57%)、石灰岩(12.52%)、白云质砂岩(3.05%),表明白云岩上的林分对有机质更新比石灰岩和白云质砂岩上的林分更有利。土壤有机碳周转率研究表明白云岩上林分回归方程斜率 *K* 值较大(3.15),石灰岩上植物群落较小(0.82)。

# 4 结论

受岩性影响,部分树种的8<sup>13</sup>C值在不同岩性上存在 显著性差异,石灰岩上柏木δ<sup>13</sup>C值与其他岩性之间呈极 显著差异(P<0.001),桤木在石灰岩与白云岩上呈显著 性差异(P=0.024)。不同树种间也存在差异,猴樟、柏 木、马桑3个树种相互间或与其他树种多表现出显著性 或极显著差异(P≤0.001)。由于植物体各器官组分及 其比例不一致,以及各器官呼吸代谢差异,8<sup>13</sup>C在植物体 内形成了叶<枝杆<根的分配格局。3种岩性上,各树 种群落植物-枯落物-土壤系统的δ<sup>13</sup>C值变化基本-致,即:植物叶片(新鲜枯落物)<枯落物分解层<枝 杆<根<上层土壤<下层土壤。在枯落物—土壤界面, 由于δ<sup>13</sup>C值分馏过程中微生物、树种本身特性的影 响,不同林分δ<sup>13</sup>C值增幅不同,增幅较大的是白云质 砂岩上的猴樟林和柏木林,分别为11.68%,11.10%, 增幅较小的是白云岩上的马桑林、石灰岩上的桤木 林,分别为 1.07%, 2.73%。各林分土壤有机质更新率 为白云岩上马桑林和石灰岩上桤木林较高(43.84%, 34.17%),石灰岩上的圆果化香林最低(1.15%)。喀斯 特地区土层薄,养分供给总量不足,提高有机质分解 速度、养分循环速度,有利于林分对养分的需求,但分 解太快容易被淋溶等因素作用造成养分流失,因此喀 斯特区森林更需要一定量的枯落物和腐殖质形成巨 大"养分库",产生养分"收蓄"和"缓释"机制,为喀斯 特区森林生长提供持续有效的养分。

#### 参考文献:

- [1] 项文化,黄志宏,闫文德,等.森林生态系统碳氮循环功能耦合研究综述[J].生态学报,2006,26(7):2365-2372.
- [2] 李龙波,刘涛泽,李晓东,等.贵州喀斯特地区典型土壤 有机碳垂直分布特征及其同位素组成[J].生态学杂志, 2012,31(2):241-247.
- [3] Bowling D R, Pataki D E, Randerson J T. Carbon isotopes in terrestrial ecosystem pools and CO<sub>2</sub> fluxes [J]. New Phytologist, 2008, 178(1):24-40.
- [4] 林光辉.稳定同位素生态学[M].北京:高等教育出版社, 2013:6.
- [5] Rothe J. Gleixner G. Do stable isotopes reflect the food

- web development in regenerating ecosystebs? [J]. Isotopes in Environmental and Health Studies, 2000, 36 (3):285-301.
- [6] Bernoux M, Cerri C C, Neill C, et al. The use of stable carbon isotopes for estimating soil organic matter turnover rates [J].Geoderma,1998,82 (3):43-58.
- [7] 刘涛泽,刘丛强,张伟,等.喀斯特地区坡地土壤有机碳的分布特征和 $\delta^{13}$ C值组成差异[J].水土保持学报,2008,22(5):115-118,124.
- [8] 刁浩宇,王安志,袁凤辉,等.长白山阔叶红松林演替序列植物一凋落物一土壤碳同位素特征[J].应用生态学报,2019,30(5):1435-1444.
- [9] 司高月,李晓玉,程淑兰,等.长白山垂直带森林叶片一凋落物-土壤连续体有机质动态—基于稳定性碳同位素分析[J].生态学报,2017,37(16):5285-5293.
- [10] 张政,蔡小真,唐偲頔,等.可溶性有机质输入对杉木人工林表层土壤有机碳矿化的激发效应[J].生态学报,2017,37(22):7660-7667.
- [11] 李新乐,鲍芳,吴波,等.荒漠植物白刺新固定碳在植物一土壤系统中的分配[J].草业学报,2019,28(2):33-40.
- [12] 王利超,胡文瑄,王小林.白云岩化过程中锶含量变化及锶同位素分馏特征与意义[J].石油与天然气地质,2016,37(4):464-471.
- [13] 周德全,王世杰,刘秀明.石灰土(碳酸盐岩风化壳)形成地球化学过程研究[J].地球与环境,2005,33(2):31-38.
- [14] 高福红,张永胜,蒲秀刚,等.白云岩化作用类型及机理:以歧口凹陷古近系沙河街组一段为例[J].吉林大学学报(地球科学版),2017,47(2):355-369.
- [15] 喀斯特科学数据中心[EB/OL].(2007-08-06)[2018-03-18] http://www.karstadata.cn/downloadData.aspx? Id=663.
- [16] 符裕红,黄宗胜,喻理飞.岩溶区不同根系地下生境类型白栎叶片δ<sup>13</sup>C值的变化[J].应用生态学报,2012,23 (11):2961-2967.
- [17] 容丽,王世杰,杜雪莲.贵州花江峡谷区常见乔灌植物叶片δ<sup>13</sup>C值对喀斯特石漠化程度的响应[J].林业科学,2007,43(6):38-43.
- [18] 鲍士旦.土壤农化分析[M].3 版.北京:中国农业出版 社,1999:36,109.
- [19] Gregorich E G, Ellert B H, Monreal C M. Turnover of soil organic matter and storage of corn ressidue car-

bon estimated from natural  $\delta^{13}$ C abundance [J].Canadian Journal of Soil Science, 1995, 75(2):161-167.

第 34 卷

- [20] 林而达,李玉蛾,郭李萍,等.中国农业土壤固氮潜力与气候变化[M].北京;科学出版社,2005:57.
- [21] 杨成,刘丛强,宋照亮,等.贵州喀斯特山区植物叶片碳同位素组成研究[J].地球与环境,2007,35(1):33-38.
- [22] Benner R, Fogel M L, Sprague E K, et al. Depletion of <sup>13</sup>C in lignin and its implications for stable carbon isotope tudies [J].Nature,1987,329(6141):708-710.
- [23] 方华军,杨学明,张晓平,等.坡耕地黑土剖面有机碳的分布和δ<sup>13</sup>C值研究[J].土壤学报,2005,42(6):957-964.
- [24] Georg G, Kaiser K. Dissolved organic matter in soil: Challenging the paradigm of sorptive preservation [J]. Geoderma, 2003, 113:293-310.
- [25] Sparing G P. Ratio of microbial biomass carbon to soil organic carbon as a sensitive indicator of changes in soil organic matter [J]. Australia Journal of Soil Research, 1992, 30:1995-2007.
- [26] Vaughn B H, Evans C U, White J W C, et al. Global network measurents of atmospheric trace gas isotopes [J].Springer,2010(1):3-31.
- [27] Buchmann N, Kao W Y, Ehleringer J. Influence of stand structure on carbon-13 of vegetation, soils, and canopy air within deciduous and evergreen forests in Utah, United States [J]. Oecologia, 1997, 110:109-119.
- [28] Farquhar G D, Ehleringer J R, Hubick K Y. Carbon isotope discrimination and photosynthesis [J]. Annual Review of Plant Physiology and Plant Molecular Biology, 1989, 40:503-537.
- [29] 寇太记,朱建国,谢祖彬,等.大气  $CO_2$  浓度升高和氮肥 水平对麦田土壤有机碳更新的影响[J].土壤学报, 2009,46(3):459-465.
- [30] 杨兰芳.植物生长对土壤碳循环和 N<sub>2</sub> O 排放的影响 [D].南京:中国科学院南京土壤研究所,2004.
- [31] Chapin F S ∭, Matson P A, Vitousek P. Principles of terrestrial ecosystem ecology M. New York: Springer, 2011:1-546.
- [32] Amundson R, Baisden W T. Stable isotope tracers and mathematical models in siol organic matter studies [M]. New York: Springer, 2000:117-137.